

# MC Study of $K_L \rightarrow \pi^0 \nu \bar{\nu}$

## at J - PARC

Osaka Univ.

Yamanaka Taku Lab.

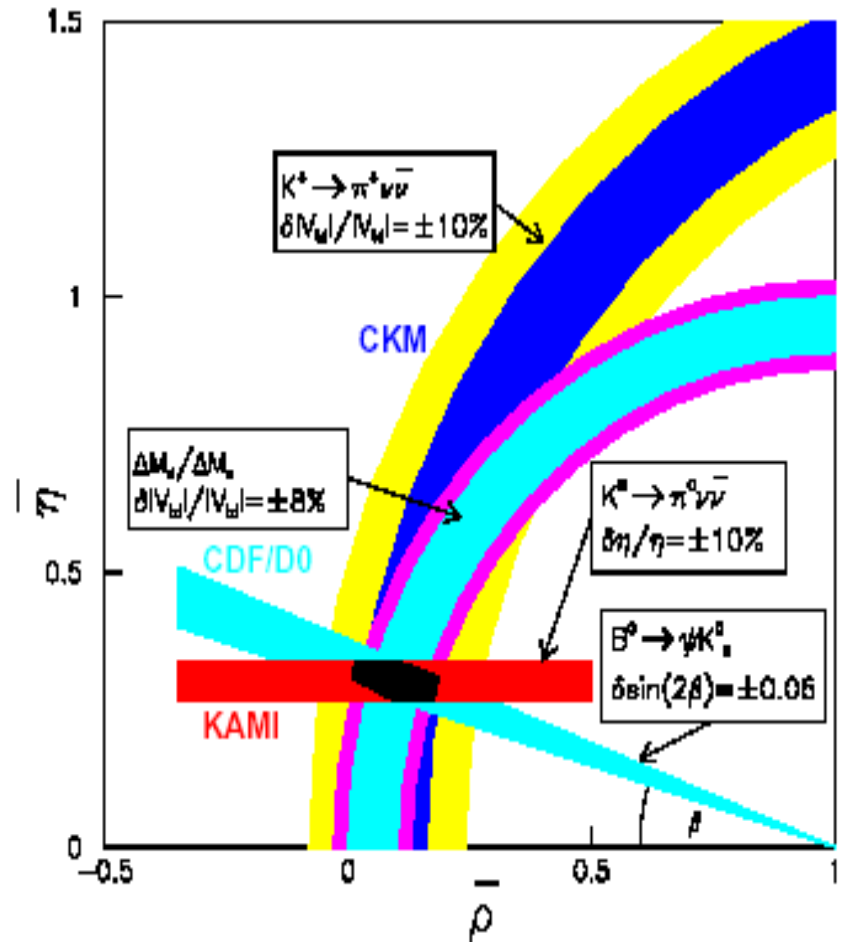
M2 Tanaka Eiiti

1. abstract
2. target
3. up to fiducial
4. fiducial volume
5. future

$K_L \rightarrow 0$

の意義

- ◆ Direct CP Violation  
がmainの現象
- ◆ の理論的な不定性  
が小さい( 2% 以下)
- ◆ B中間子からの  
CKM fit との相違  
 $\rightarrow$ New Physics の  
「窓」 となりうる



$K_L \rightarrow 0$

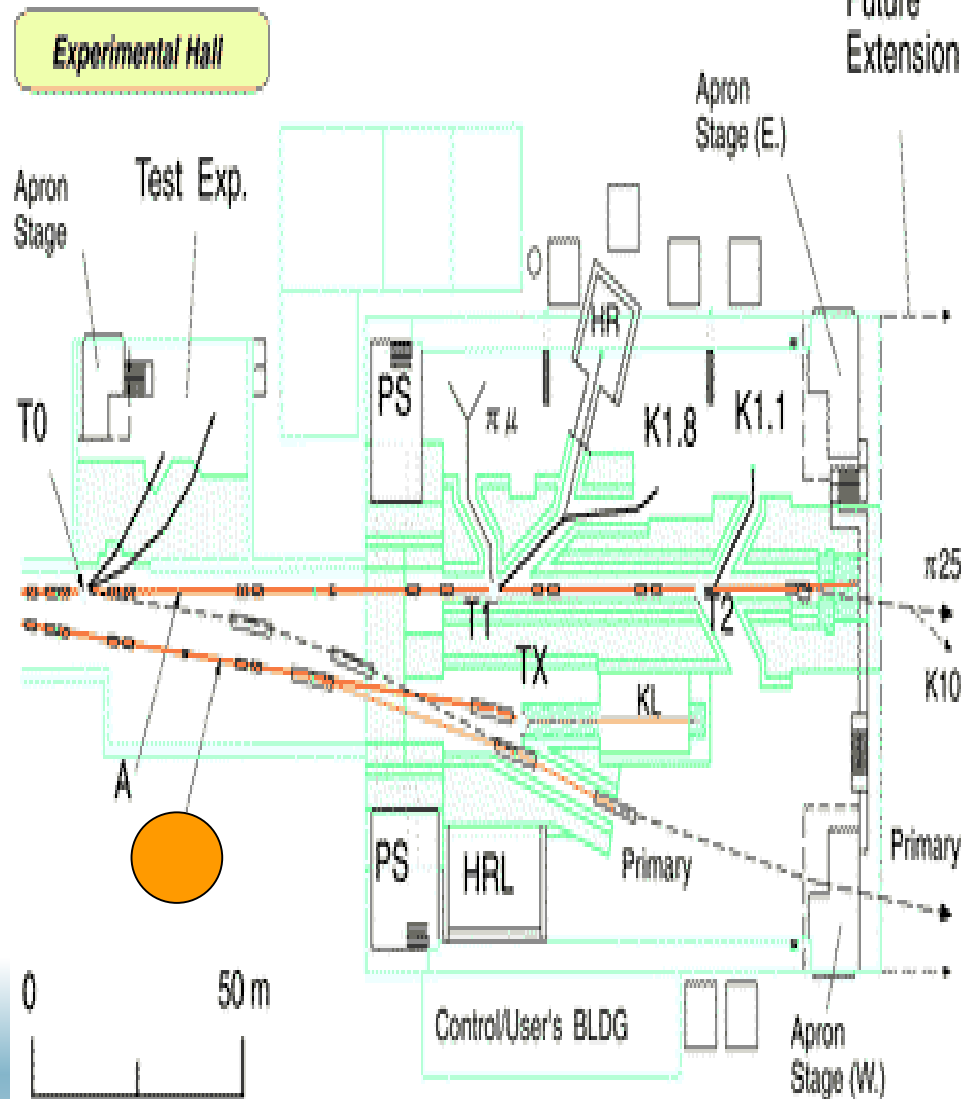
をとらえるには？

◆  $K_L \rightarrow 0$  の特徴

- 非常に小さいBranching Ratio( $3 \times 10^{**-11}$ )  
→大量の $K_L$  が測定に必要
- $K_L \rightarrow 2^0$ からの Background の除去が課題  
のinefficiency を小さくしたい  
→ $K_L$ のEnergyが高ければ有利

- ◆ 以上の2つの条件を満たす実験施設が欲しい  
→ J-PARC B-line

# J-PARCとは,B-line とは?



# J-PARC Beam line の現状

- A line .... experiment condition almost fixed
- B line .... unclear the experimental condition

	A line	B line
Proton energy(GeV)	30	50
Proton intensity (ppp)	$2 * 10^{14}$	$2 * 10^{14}$
Production target	Ni	?
Target thickness	5.4cm: 30 % loss	?
Extraction angle(deg)	16	10 ?

# Study の目的

実験装置、環境の制限を厳しくせずに、  
B-line を使った KL 実験の大まかな特徴を捉える

- ◆ を理論の不定性と同程度まで求めたい。  
→ 1000 event が一つの目標 ( $d / = 1.5\%$ )
  - 3 年間で出来る proton の数  $\sim 2 \times 10^{21}$   
KI の数  $\sim 2 \times 10^{15}$
  - 一方で signal 1000event を得るのに必要な  
KI の数は

$$\#K_L = \frac{1000}{3 \times 10^{11} \cdot (P_{decay} \times A)}$$

- $P_{decay} \times A_{ccept} = 0.01$  とすると  $\#K_L = 3 \times 10^{15}$   
→ 達成可能である

## 2.target simulation

◆ 目的はSecondary Particle の  
特徴を捉えること

◆ 様々な設定のもとで

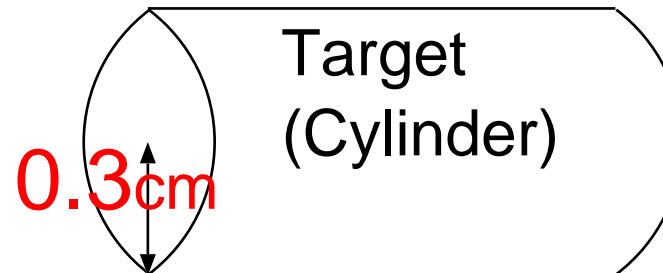
- Package
- target material
- target の厚さ
- angle

◆ 50 GeV のproton を  
target に衝突させて反応を見る

- yield
- n/k ratio
- momentum

# Target Simulation

Proton 50 GeV/c



Target  
(Cylinder)

## Simulation Condition

Geant 3 FLUKA package

100 keV threshold

beam cross section = 0

target material : Be,Al,Ni,Pt

taking data at 1mm from target

Normalization: $\sin(\theta)$

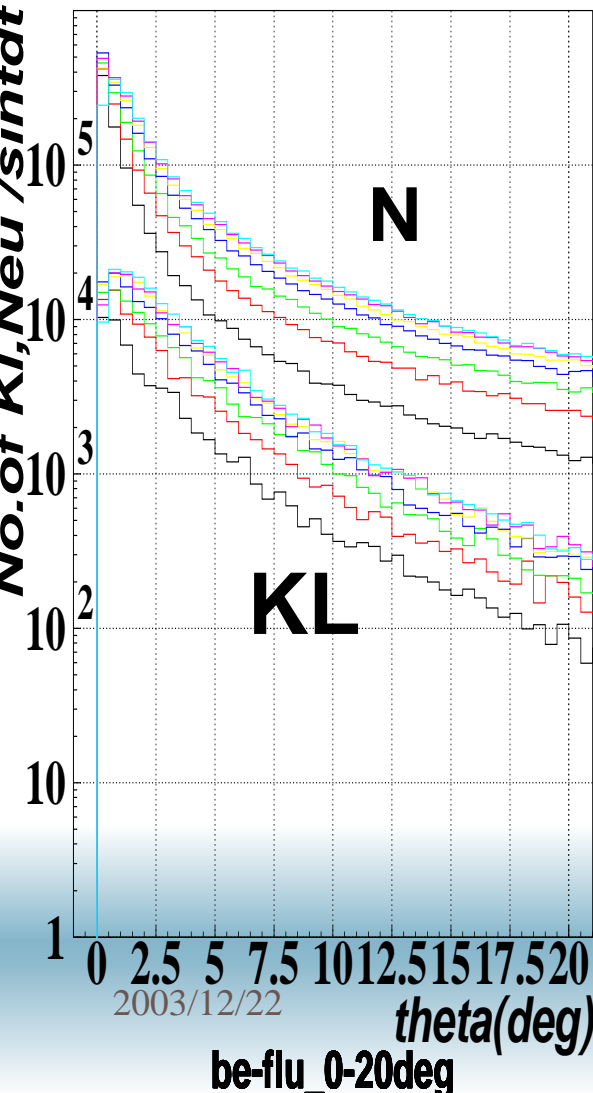
Secondary Particle

# yieldの角度依存性

fluka,Be

色の違いは厚さ

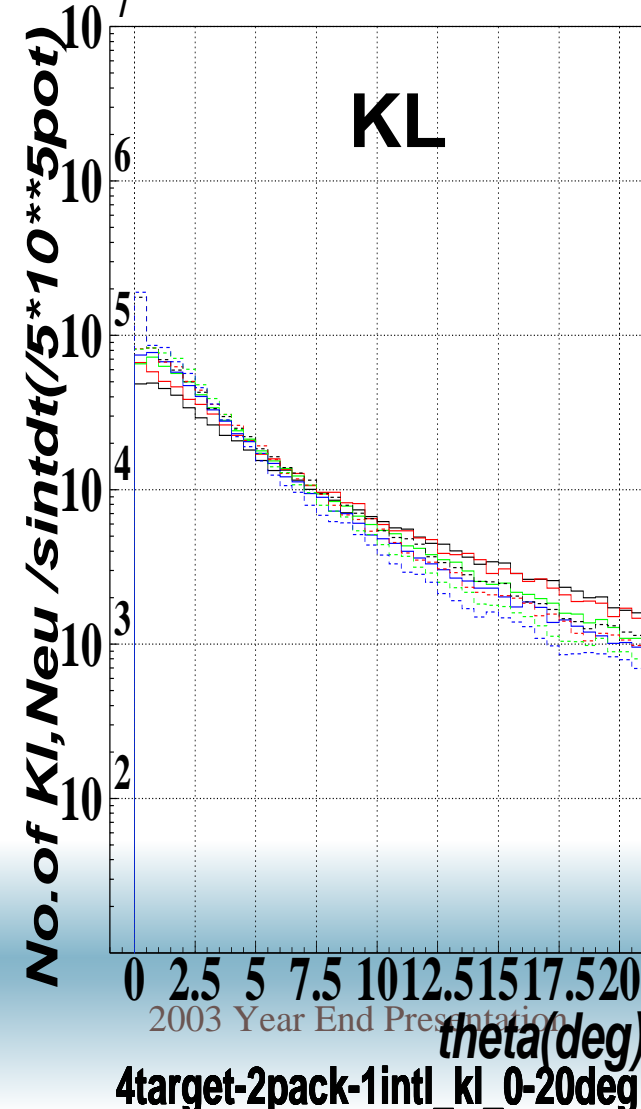
2003/12/22 03.32



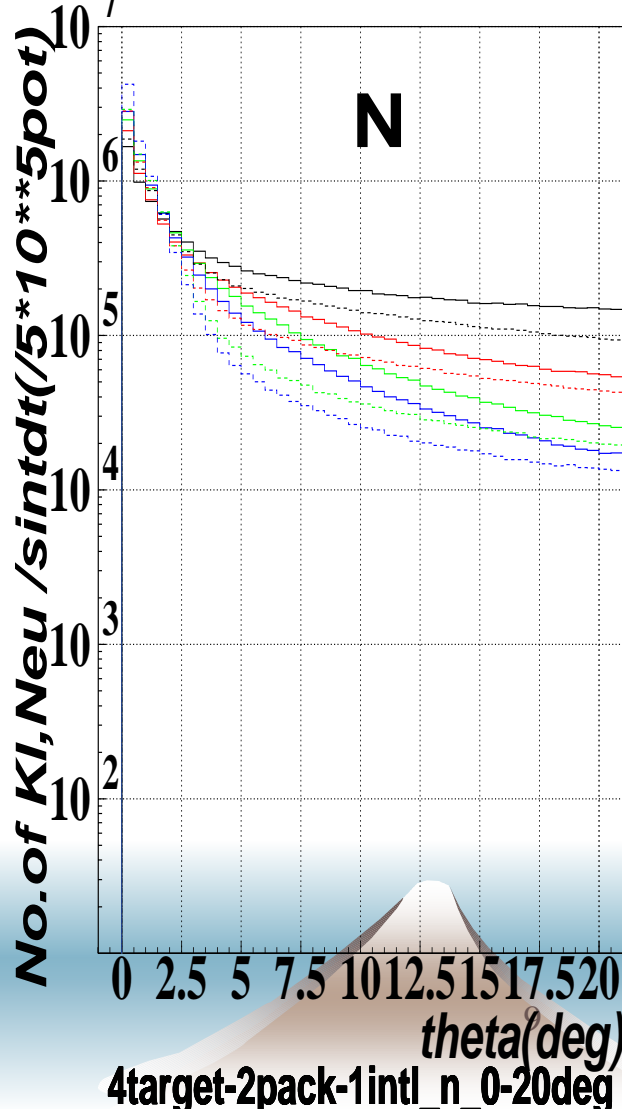
実線 fluka, 点線 gheisha  
黒Pt,赤Ni,緑AI,青Be  
厚さは1

,

2003/12/22 04.54



2003/12/22 04.44



theta(deg)

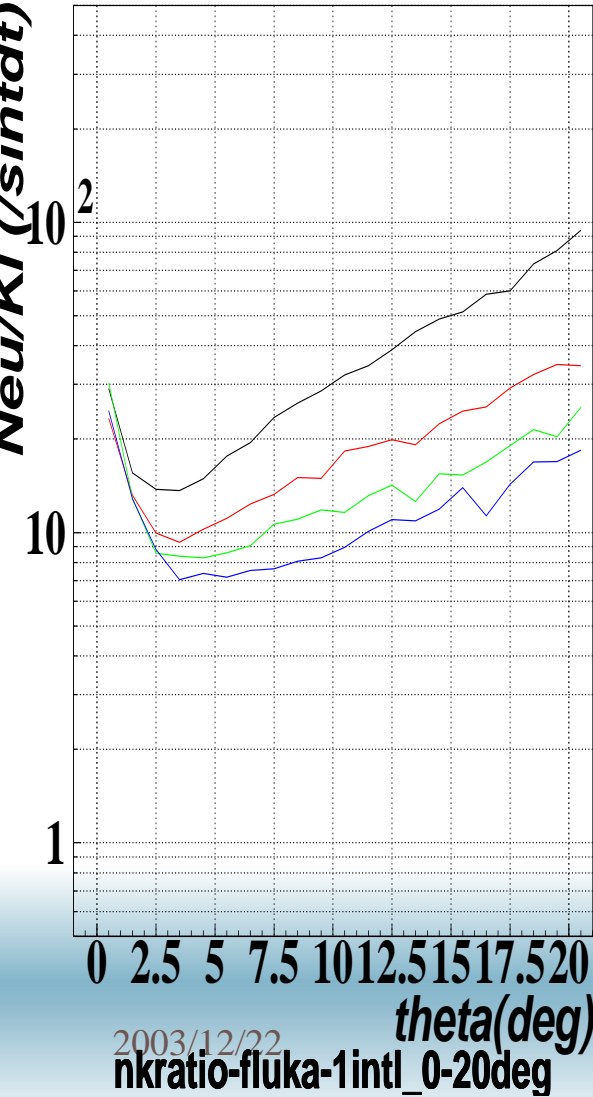
theta(deg)

2003 Year End Presentation

# 黒Pt,赤Ni,緑AI,青Be 厚さは1 ,fluka

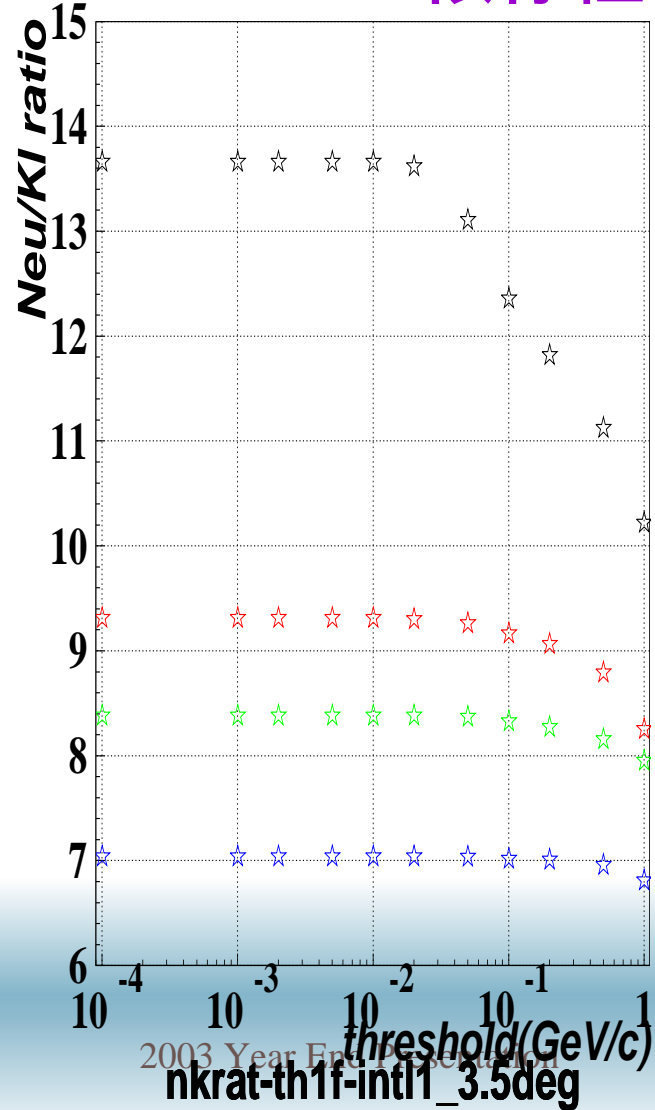
N/K ratio  
角度依存性

2003/12/22 04.22



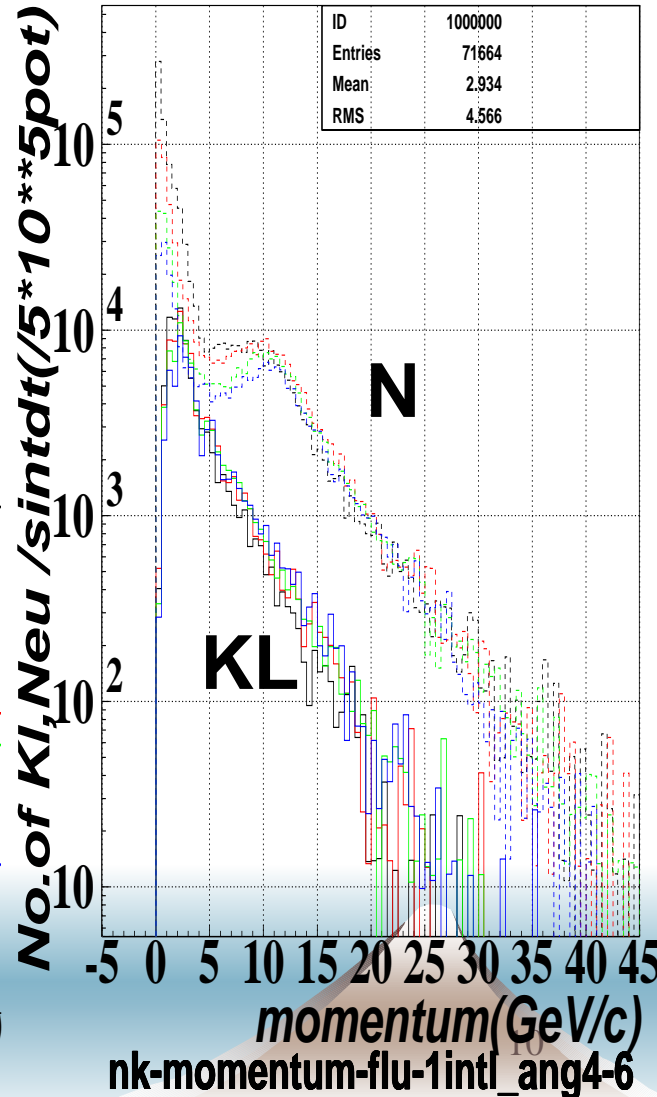
N/K ratio  
threshold依存性

2003/12/16 20.20



momentum dist.  
実線KI,点線N

2003/12/22 04.49



# Result

- ◆ target material で  $K_L$  yield, momentum を比較するとき、interaction length で規格化すれば違いはほとんどない
- ◆ 低い momentum (特に 50 MeV/c 周辺) の neutron の発生数が target material ごとに違う  
n/k ratio が target material によって違う原因になっている
- ◆ n/k ratio の target material による違いは Threshold を上げると小さくなる。密度が大きい物質ほど soft な neutron が発生することがわかる。
- ◆ 今後は Be 11 (4°) を採用することにする
  - n/k ratio が他の target 粒子と比べて小さい
  - 厚すぎない target にする

# 3.up to fiducial simulation

- ◆ target で作った粒子群をfiducial region まで  
もっていきためのsimulation
  - absorber
  - decay
  - half cone の 大きさ
  - 距離

# Up To Fiducial simulation

Proton 50GeV/c

Be  
Target  
4 deg  
(extraction angle)

Magnet  
zone

Absorber  
zone

Magnet  
zone

Be Pb

In Front of  
Fiducial Volume

Simulation Condition

1MeV Threshold

Use Magnet to Exclude Charged Particle

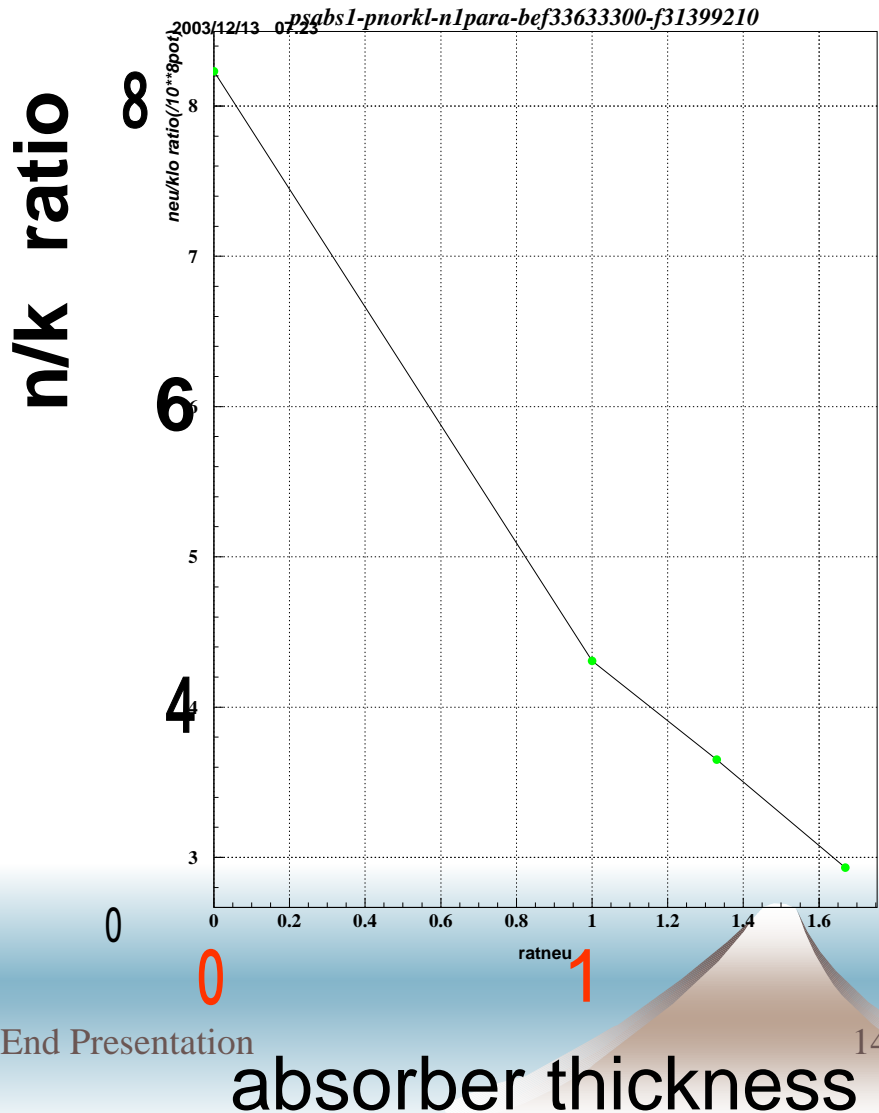
No Collimator

Half Cone Angle(mrad)

# absorber effect

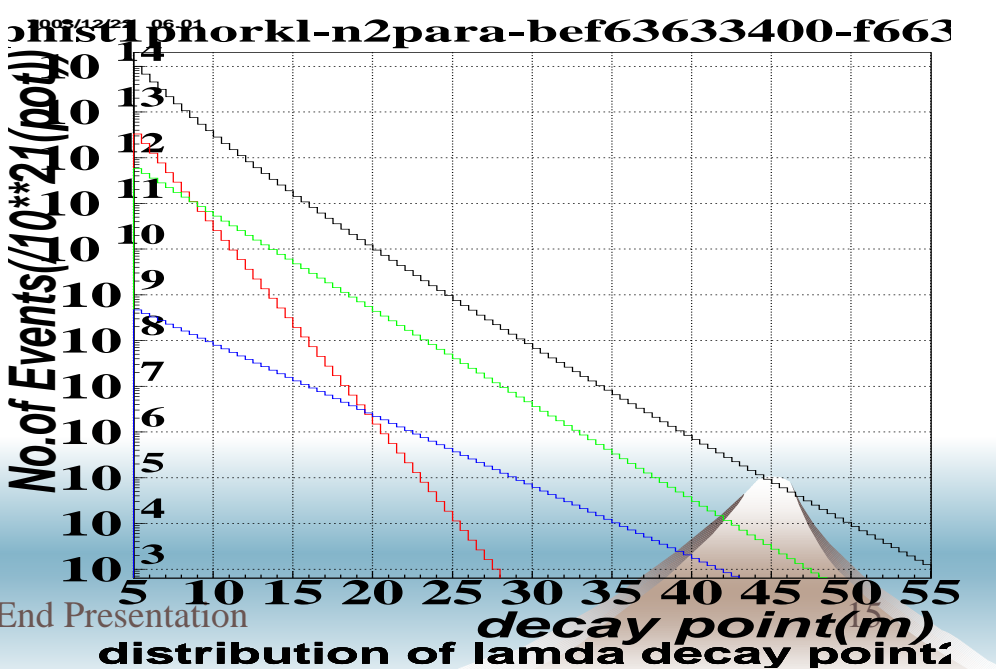
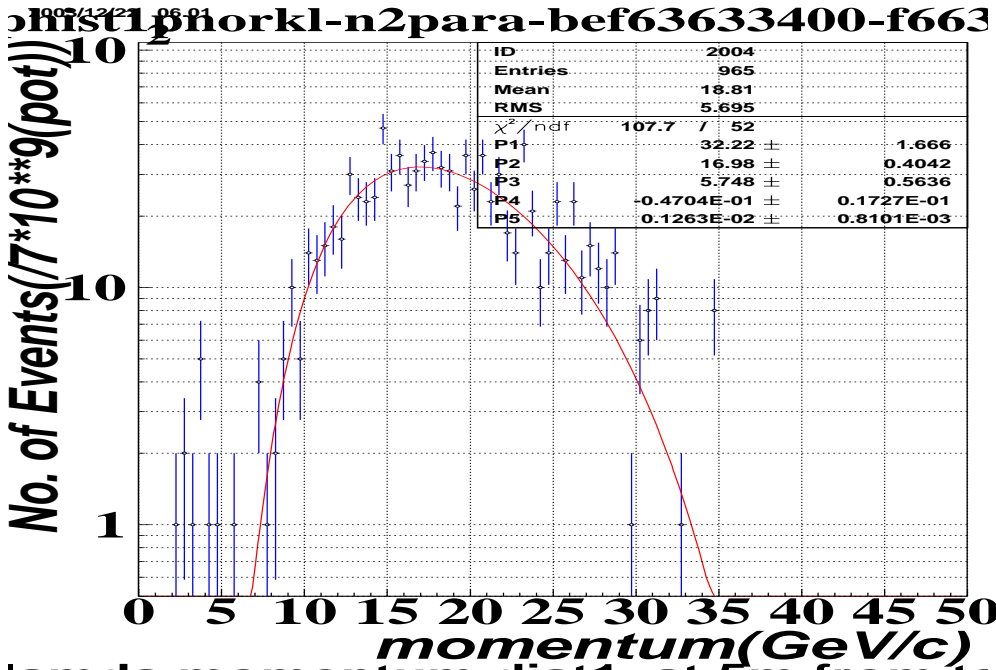
## n/k ratio

- ◆ Be,Pb 2種のabsorber
  - n/k , g/k ratio の向上
  - target から後方 5 m に absorber をおく
  - target から 15 m でのデータを比較する
- ◆ E391aと同じサイズの absorber で n/k ratio は 約半分に改善できる



# の残留

- ◆  $\rightarrow {}^0 n$  の反応がバックグラウンドになる
- ◆ targetから5mでのデータを検討する
- ◆  $c \cdot ( ) = 7.89\text{cm}$   
 $\rightarrow$  fiducial までの距離をとれば大きく減らすことが可能

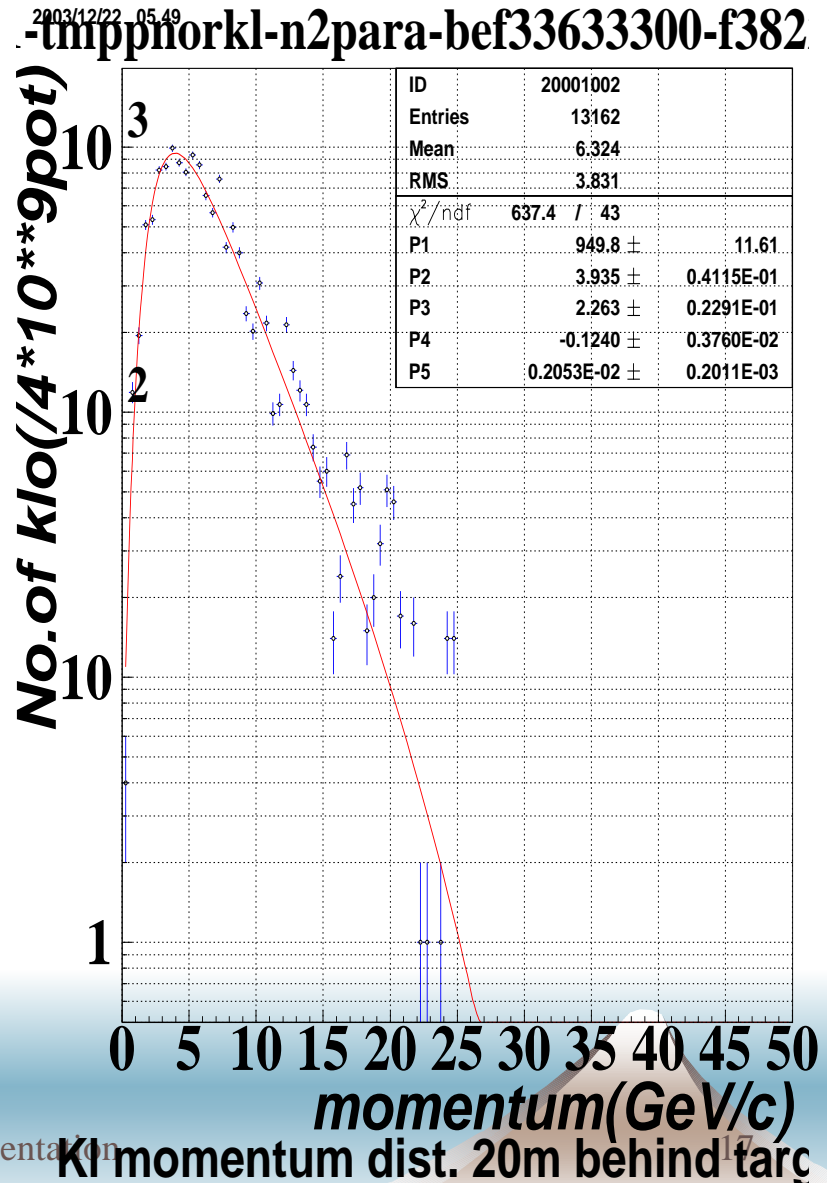


# Result

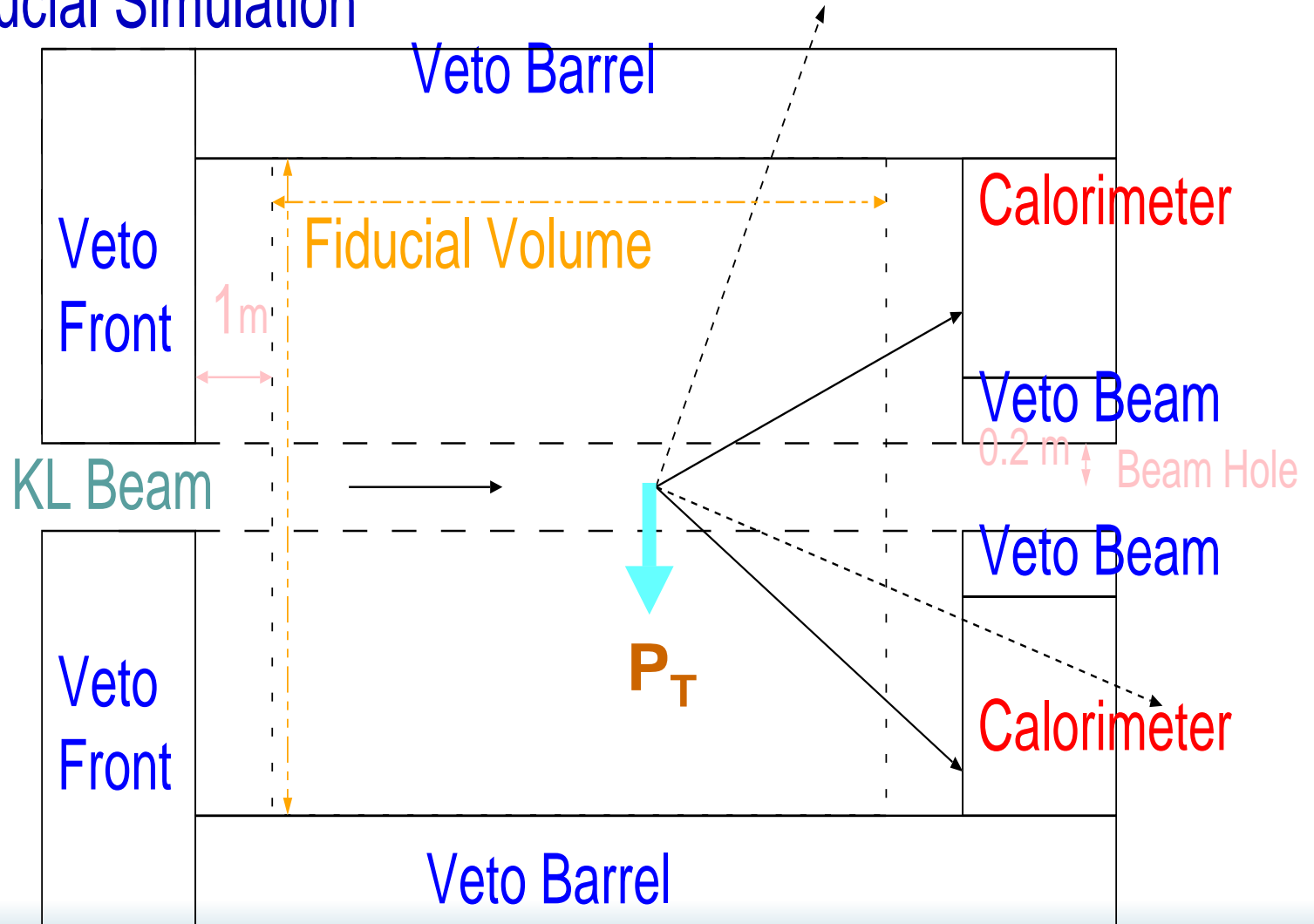
- ◆ absorberを入れることで n/k ratio, g/k ratio を改善  
→ E391a n/k ratio ~ 60 と比べると  
factor 15倍 小さくなり ~ 4程度になる
- ◆ の残留数が target 後方20m で  $10^{**}10$  個ある
- ◆ 以後のsimulation は  
E391a と同じabsorber  
target 後方20mを fiducial volume の入り口  
とする
- ◆ の残留数が多いが、fiducial volume の大きさを確  
保することも考えてこの大きさにする

# 4.fiducial volume simulation

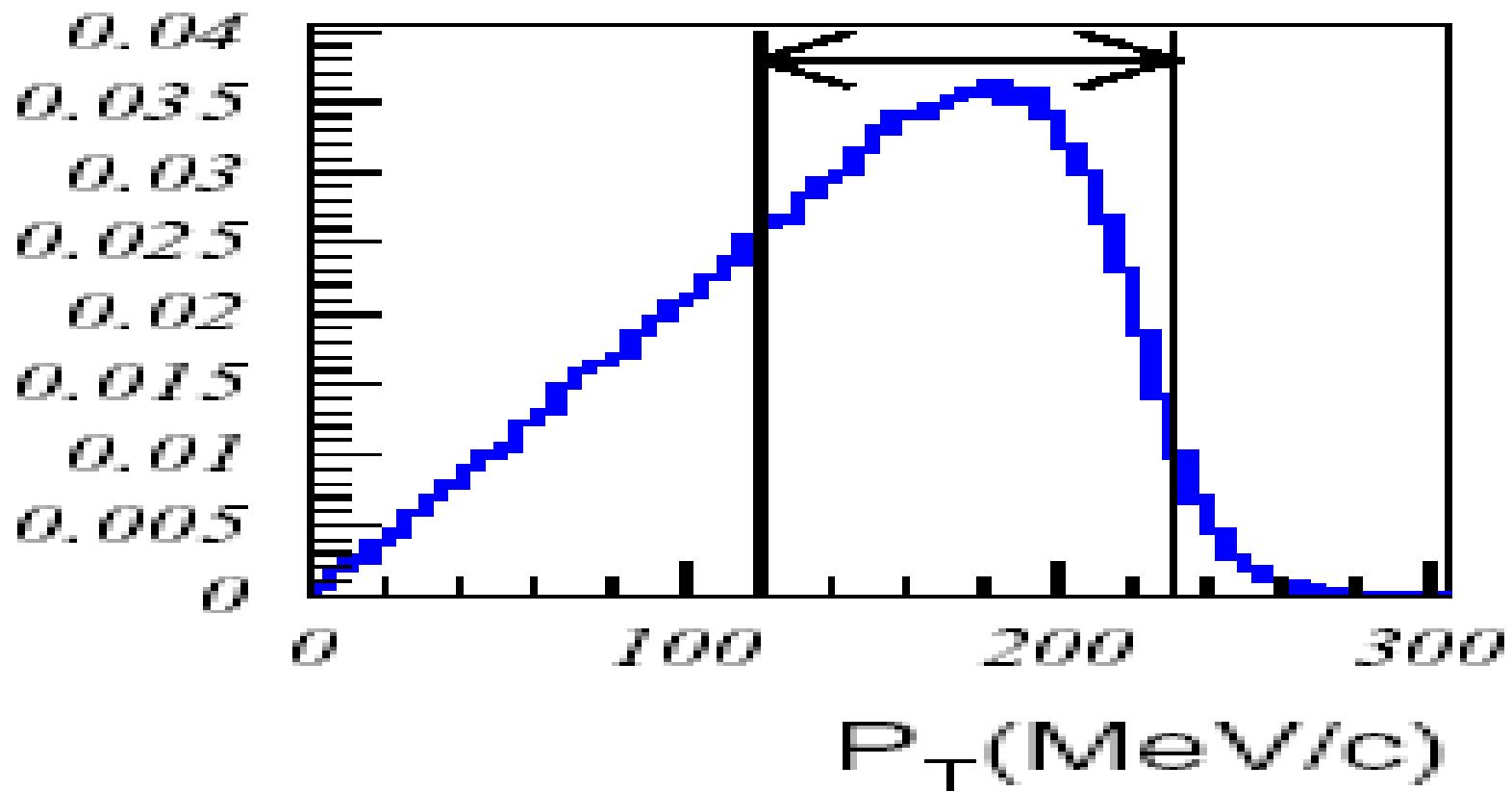
- 今までのsimulation で求めた KL momentum distribution をもとに  $K_L \rightarrow \pi^0$  event を作って、崩壊率、アクセプタンス、fiducial volume の関係を得たい。
- simulation condition
  - $10^{**6}$  の  $K_L \rightarrow \pi^0$  を作る
  - E391aと同じdetector 形態、 calorimeter は fiducial volume の後方のみ
  - Beam Hole の半径は 20cm



# Fiducial Simulation



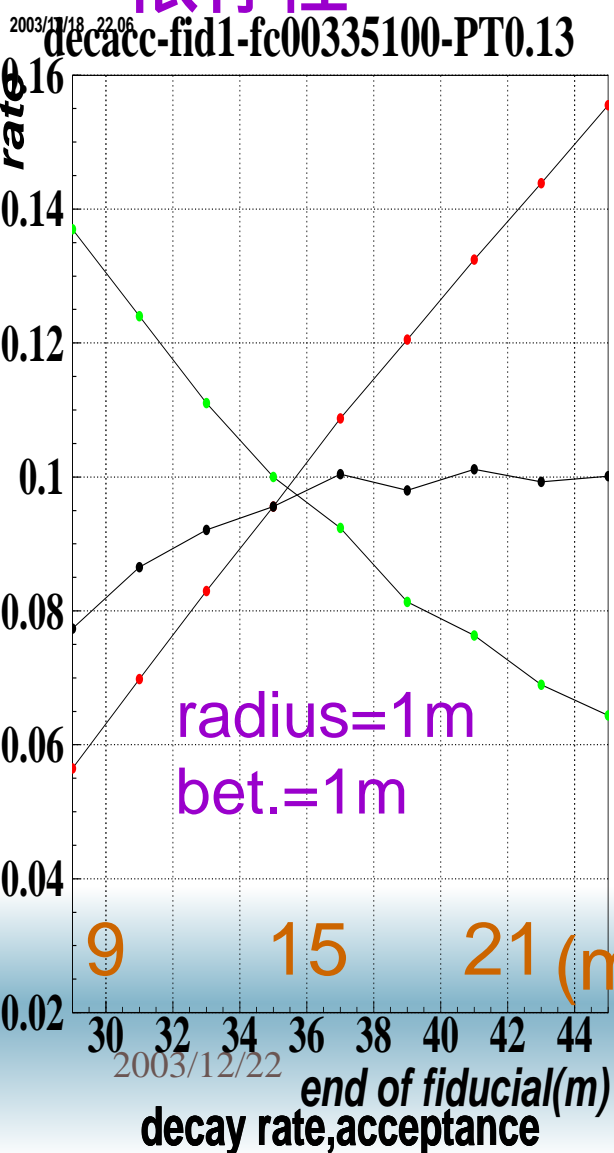
# $P_T$ 分布とカットの例 (E391a simulation)



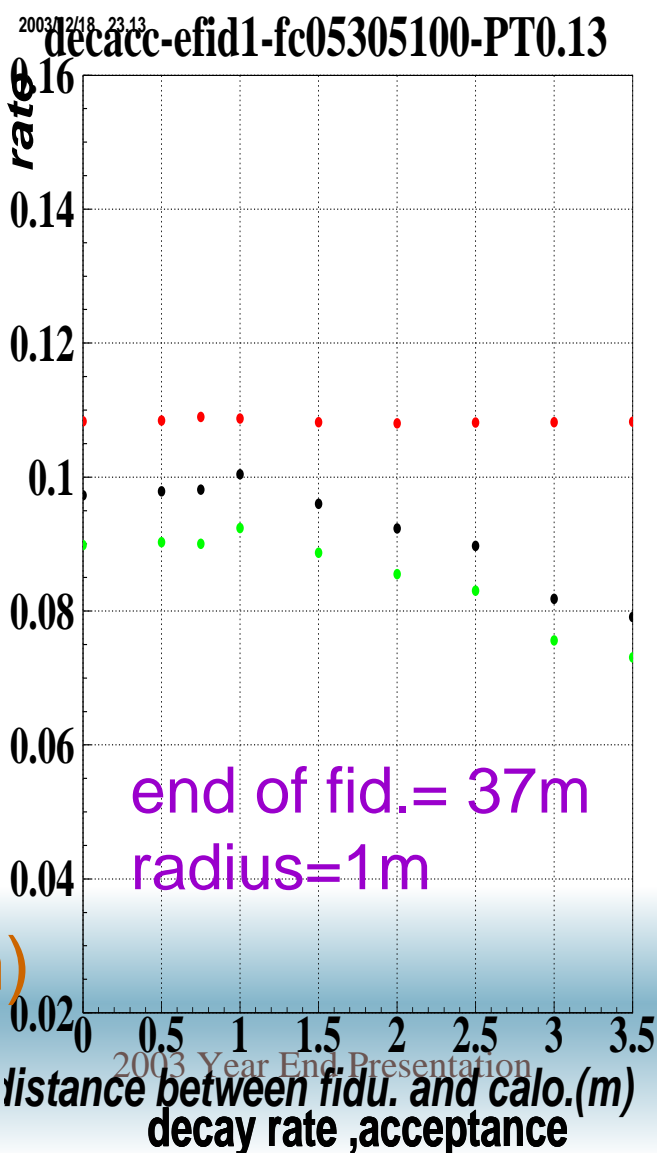
今回は130MeV/c でカットをかけたときの  
例を示す。

赤:decay rate 緑:acceptance 黒:10xdecayrate×acceptance

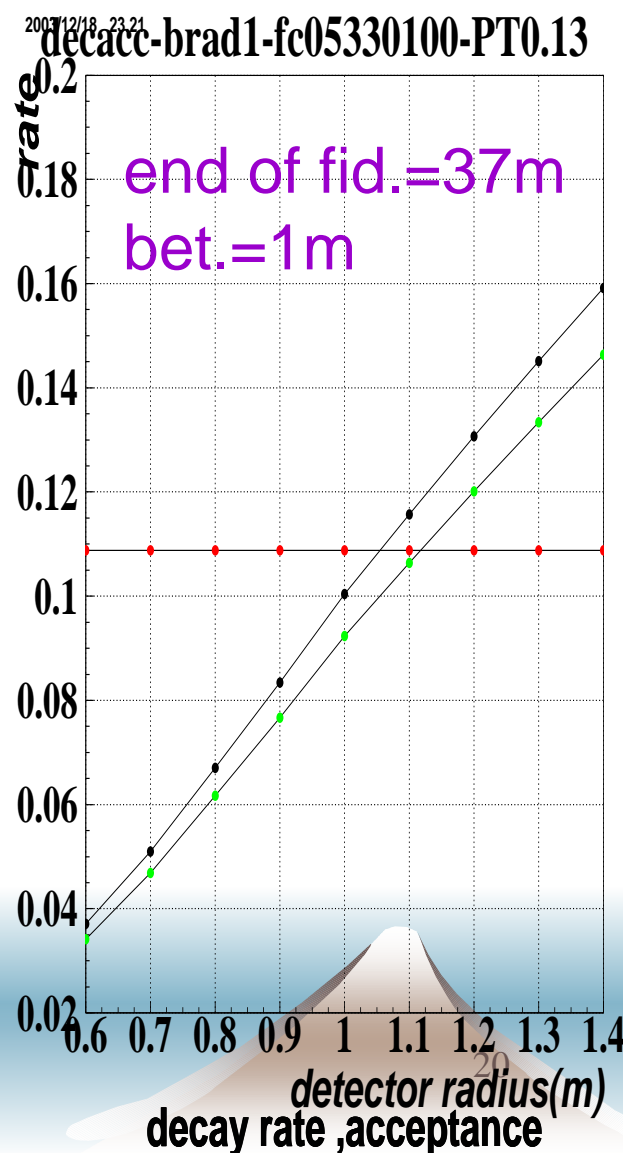
## Fiducial length 依存性



## distance bet. fidu. end and calo. 依存性



## radius 依存性



# 5.future

- ◆ 現在のsimulationは最適化されていない  
→ 最適化を施す必要がある
- ◆ calorimeter region を下流面だけでなく  
側面まで増やすとアクセプタンスを大幅に増や  
すことができる。2 の方向をstudy して  
効率のいい配置を考えなければならない
- ◆ background studyを 進める
  - S/N を上げるために  
→ 角度を見ることができれば、抑えることができる